

パラジウム触媒を用いたアリールアミン類と 2-ブロモ-3,3,3-トリフルオロプロペンとのカップリング反応

木野 達人^{*1}・長瀬 裕^{*2}・堀野 良和^{*3}・山川 哲^{*3}

Pd-catalyzed Coupling with Arylamines and 2-bromo-3,3,3-trifluoropropene

by

Tatsuhito KINO^{*1}, Yu NAGASE^{*2}, Yoshikazu HORINO^{*3}, Tetsu YAMAKAWA^{*3}

(Received on September 28, 2007, and accepted on December 25, 2007)

Abstract

The palladium-catalyzed coupling of arylamines and 2-bromo-3,3,3-trifluoropropene (BTP) was investigated. When a toluene solution of aniline and BTP was heated to 110 °C in the presence of Pd₂(dba)₃·CHCl₃, 1,1'-diphenylphosphinoferrocene and Cs₂CO₃ in an argon atmosphere, *N*-(1,1,1-trifluoro-2-propylidene)aniline was obtained with an excellent ¹⁹F-NMR yields (99 %) and isolated yield (92 %). Cs₂CO₃ was exclusively effective in the coupling. The coupling using 2-aminobenzonitriles as substrates provided not only 2-*N*-(1,1,1-trifluoro-2-propylidene)aminobenzonitriles but also 4-amino-2-trifluoromethylquinolines and 2-trifluoromethyl-4-*N*-(1,1,1-trifluoro-2-propylidene)aminoquinolines. The strong electron withdrawing character of CF₃ will enhance the acidity of the methyl proton in the cyano group and cyclization to 4-amino-2-trifluoromethylquinolines. Moreover, the one-pot synthesis of 2-trifluoromethylindoles with 2-bromoanilines and BTP was achieved using Pd(OAc)₂, 2-dicyclohexyl-2',4',6'-triisopropylbiphenyl and Cs₂CO₃. The Pd-catalyzed intramolecular Heck coupling of the vinyl group in 2-bromo-*N*-(1-trifluoromethyl)vinylanilines, which is the tautmeric isomer of 2-bromo-*N*-(1,1,1-trifluoro-2-propylidene)anilines, and the C-Br bond presumably furnished indole rings. C-N double bond of the *N*-(1,1,1-trifluoro-2-propylidene)amino group obtained here was smoothly hydrogenated to the *N*-(1-methyl-2,2,2-trifluoro)ethylamino group using LiAlH₄ or H₂ with Pd/C.

Keywords: Palladium, 2-Bromo-3,3,3-trifluoropropene, Amination, 4-Amino-2-trifluoromethylquinoline, 2-Trifluoromethylindole

1. 緒 言

イミンやエナミンは反応性に富む有用な窒素原子導入試剤であり¹⁾、様々な医農薬の中間体となることから、それらの簡便で経済的な合成法が切望されている。通常、イミンはアミンとカルボニル化合物との縮合反応により合成されるが²⁾、反応条件が厳しいものや置換基の耐久性が低いなどの問題点が指摘されている。一方、パラジウム触媒によるアリールハライドとアミンのクロスカッ

プリング反応、いわゆる Buchwald-Hartwig amination³⁾は C-N 結合生成反応として非常に有用な反応である。最近では、Buchwald-Hartwig amination によりアルキルブロマイドもしくはアルキルトリフレートとアミンから、イミン・エナミンが合成できることが報告されている⁴⁾。一方、含フッ素アルキル基は高い生理活性を有機化合物に付与することが知られており、医農薬中にしばしばみられる置換基である⁵⁾。従って、N 位に含フッ素アルキル基をもつイミン・エナミンは有用な医農薬原料となり得ると考えられる。

通常、含フッ素アルキル基をもつイミンは、低求核性的アリールアミンと低沸点の含フッ素カルボニル化合物から合成される。例えば、*N*-(1,1,1-トリフルオロ-2-ブ

* 1 理工学研究科総合理工学専攻

* 2 工学部応用化学科教授

* 3 財団法人 相模中央化学研究所

ロビリデン)アニリンは、アニリンと1,1,1-トリフルオロアセトン(b.p. 22°C)から合成される⁵⁾が、この方法は、長時間反応(25°C, 48h)かつ低収率(25%)であり、実用的ではない。最近ではイミノホスホランと1,1,1-トリフルオロアセトンとのaza-Wittig反応を応用したトリフェニルホスフィン-4-メトキシフェニルイミンと1,1,1-トリフルオロアセトンによる4-メトキシ-N-(1,1,1-トリフルオロ-2-ブロビリデン)アニリンの合成⁷⁾も報告されているが、原料合成が煩雑などの問題点がある。

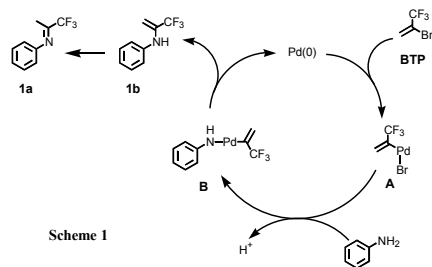
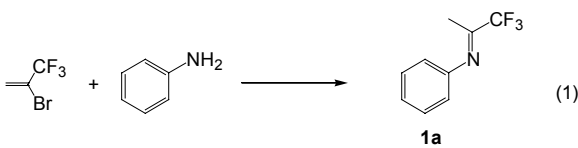
1,2-ジブロモ-3,3,3-トリフルオロプロパン(DBTFP)や2-ブロモ-3,3,3-トリフルオロプロパン(BTP)は、有用なトリフルオロメチル基導入試薬として知られており、これらの試薬を用い、有機分子にC-O結合やC-C結合の生成を伴ながらトリフルオロメチル基を導入する方法が数多く報告されている⁸⁻¹³⁾。BTPは沸点が低いものの(b.p. 34°C), DBTFP(b.p. 116°C)を塩基で処理することで容易に得られる化合物である¹⁴⁾。

パラジウム触媒を用いたBTPとアルコールのカルボアルコキシレーションによるトリフルオロアクリル酸エステルの合成¹⁵⁾では、BTPへのパラジウムの酸化的付加反応により反応が進行すると考えられている。Buchwald-Hartwig aminationもパラジウムの炭素-ハロゲン結合への酸化的付加を引き金として進行する。そこで本研究では、Buchwald-Hartwig aminationのBTPへの適用を検討した。その結果、アリールN-(1,1,1-トリフルオロ-2-ブロビリデン)アミンおよびアリールN-(1-メチル-2,2,2-トリフルオロ)エチルアミンを収率良く得られることが明らかとなった。さらに、医農薬中間体として非常に有用な¹⁶⁻¹⁹⁾2-アミノベンゾニトリルから4-アミノ-2-トリフルオロメチルキノリンを、2-ハロアニリンから2-トリフルオロメチルインドールを一段で合成できることを見出した。

2. 結果および考察

2.1. アリールアミン類とBTPのカップリング反応

スクリューキャップ付き試験管中で、アニリン(1.0 mmol), Pd₂(dba)₃ · CHCl₃(0.05 mmol), dba = dibenzylideneacetone, 1,1'-ジフェニルホスフィノフェロセン(dppf, 0.15 mmol), 炭酸セシウム(1.2 mmol)および2-ブロモ-3,3,3-トリフルオロプロパン(BTP)を、トルエン溶媒(2.0 mL)中、アルゴン雰囲気下で110°C, 15時間加熱攪拌することにより、N-(1,1,1-トリフルオロ-2-ブロビリデン)アニリンを、GCおよび¹⁹F-NMR収率99%, 単離収率92%で得られた(式1)。



本カップリング反応はScheme 1に示す機構により進行すると考えられる。まずBTPへのパラジウムの酸化的付加反応により、ビニルパラジウム中間体(A)が生成する。塩基存在下でのアニリンの脱プロトン化により生じたアニリドイオンとAの反応から、アニリド-ビニル中間体(B)が生じ、ビニル配位子のα-炭素へのアニリド配位子の求核攻撃を伴って、パラジウムの還元的脱離が起こり、N-(1-トリフルオロメチル)ビニルアニリン(1b)が生成する。通常、イミンは、エナミンよりも熱力学的に安定なため、1bはN-(1,1,1-トリフルオロ-2-ブロビリデン)アニリン(1a)へと異性化する。1bは反応溶液を直接測定しても、¹⁹F-NMRで確認することはできなかったため、この過程は速やかに進行すると考えられる。

Table 1に種々のホスフィン配位子を用いた結果を示す。dppf, 1,4-ジフェニルホスフィノブタン(dppb), BINAPで収率良く1aを得ることができ(run 5, 8, 9), 特にdppfを用いた系ではほぼ完全にアニリンを1aに転化することができた(run 5)。ligand Aや1,2-ジフェニルホスフィノエタン(dppe)を用いた場合、アニリンの転化率に比べ、1aはほとんど生成しなかった(run 3, 6)。これは1aの分解が起こったためと考えられる。

Table 2にdppfを用いた系での、[P]/[Pd]比の活性への影響を示す。[P]/[Pd] = 2-4の範囲で1a収率を比較したところ、[P]/[Pd] = 3で最も高い収率が得られた(run 12)。

Table 1 Pd-catalyzed coupling of aniline and BTP to 1a with various phosphine ligands^a

run	ligand	aniline conversion (%) ^b	NMR yield (%)
1	PPh ₃	2	2
2	PCy ₃	1	trace
3	ligand A	85	9
4	JohnPhos	38	32
5	dppf	99	99
6	dppe	39	3
7	dppp	51	22
8	dppb	83	80
9	BINAP	79	78
10	Xantphos	48	48

a) aniline 1.0 mmol, BTP 1.2 mmol, Pd₂(dba)₃ 0.05 mmol, ligand (P atom) 0.15 mmol, Cs₂CO₃ 1.2 mmol, toluene 2 mL, 110 °C, 15 h.

b) determined by GC.

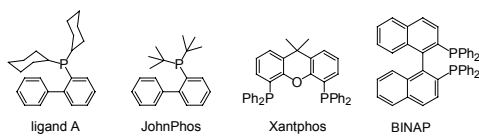


Table 2 Pd-catalyzed coupling of aniline and BTP to **1a** with various [P] / [Pd]^a

run	[P] / [Pd]	aniline conversion (%) ^b	NMR yield (%)
11	2	93	92
12	3	99	99
13	4	91	89

a) aniline 1.0 mmol, BTP 1.2 mmol, $\text{Pd}_2(\text{dba})_3$ 0.05 mmol, dppf 0.10 - 0.20 mmol, Cs_2CO_3 1.2 mmol, toluene 2 mL, 110 °C, 15 h.

b) determined by GC.

Table 3 Pd-catalyzed coupling of aniline and BTP to **1a** with various bases^a

run	base	aniline conversion (%)	NMR yield (%)
14	Cs_2CO_3	99	99
15	K_2CO_3	99	30
16	Na_2CO_3	1	0
17	Li_2CO_3	14	0
18	CsOH	11	11
19	K_3PO_4	28	26
20	$\text{NaO}^\ddagger\text{Bu}$	2	trace
21	Et_3N	1	0

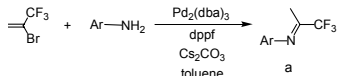
a) aniline 1.0 mmol, BTP 1.2 mmol, $\text{Pd}_2(\text{dba})_3$ 0.05 mmol, dppf 0.15 mmol, base 1.2 mmol, toluene 2 mL, 110 °C, 15 h.

$\text{Pd}_2(\text{dba})_3$ -dppf の触媒系で、種々の塩基を用いた検討を行った。Table 3 から明らかのように、特異的に炭酸セシウムを用いた系が高い収率を与えた(run 14)。

通常、炭酸セシウムは有機溶媒に対する溶解性が高く、また高い塩基性を示すことから、カップリング反応で汎用的に用いられる。最近では、パラジウム触媒を用いた反応で、中間体が炭酸セシウムにより安定化されることが報告されている^{3f, 20)}。また、BTP を用いたカルボアルコキシレーションでも、炭酸リチウムによる同様の促進効果が報告されている¹⁵⁾。これらのことから、本反応でも、BTP 中のフッ素原子と炭酸イオンとの間で相互作用があり、反応を促進している可能性があると考えられる。

$\text{Pd}_2(\text{dba})_3$ -dppf- Cs_2CO_3 の触媒系を用い、種々のアリールアミン類と BTP のカップリング反応を検討した結果(Table 4)，いずれの基質からも対応するイミン **a** が得られた。なお エチル 2-アミノベンゾエートでは、イミンとエナミンが得られた(run 30)。

一般にイミンやエナミンは酸により分解するため、生成物の単離は中性シリカゲルを用いたカラムクロマトグラフィーにより行ったが、一部単離過程でイミンの分解が起こり、単離収率は $^{19}\text{F-NMR}$ よりも低いか、または単離できないものもあった。

Table 4 Pd-catalyzed coupling of various anilines and BTP^a

run	Ar-	product	NMR yield (%)	isolated yield (%)	run	Ar-	product	NMR yield (%)	isolated yield (%)
22		2a	61	44	34		14a	63	52
23		3a	99	59	35		15a	90	-
24		4a	99	89	36		16a	99	55
25		5a	99	57	37		17a	95	77
26		6a	77	42	38		18a	94	80
27		7a	63	-	39		19a	83	59
28		8a	40	40	40		20a	58	43
29		9a	99	-	41		21a	99	59
30		10a	32	-	42		22a	99	63
31		11a	23	-	43		23a	99	69
32		12a	84	-	44		24a	98	92
33		13a	43	33	45		25a	59	27

a) $\text{Ar}-\text{NH}_2$ 1.0 mmol, BTP 1.2 mmol, $\text{Pd}_2(\text{dba})_3$ 0.05 mmol, dppf 0.15 mmol, Cs_2CO_3 1.2 mmol, toluene 2 mL, 110 °C, 15 h.

b) an enamine form, **10b**, was also obtained with 24% NMR yield.

c) BTP 2.4 mmol. See Table 10.

既知の **1a** 合成手法⁶⁾との比較を Table 5 に示す。既知手法ではいずれのアリールアミンに対しても収率は低かった(run 46)。また、反応温度を上げても、本研究のカップリング反応より収率は低く、特に CF_3 のような電子吸引性の強い置換基をもつアリールアミンには適用できなかった(run 47)。一方、本カップリング反応はいずれのアリールアミンに対しても適用できた(run 48)。これらの結果から、本カップリング反応はアリールアミンからのイミン合成法として有用であると考えられる。

Table 5 Synthesis of *N*-(1,1,1-trifluoro-2-propylidene)anilines

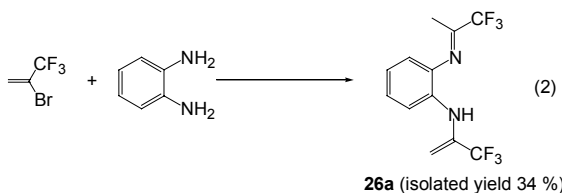
run	NMR yield (%)						
	1a	3a	4a	8a	9a	16a	20a
46 ^a	22	47	28	2	2	3	5
47 ^b	55	77	85	trace	9	12	41
48 ^c	99	99	99	40	99	99	58

a) $\text{Ar}-\text{NH}_2$ 1.07 mmol, 1,1,1-trifluoroacetone 1.16 mmol, benzene 0.3 mL, r.t., 48 h (ref.6)

b) $\text{Ar}-\text{NH}_2$ 1.07 mmol, 1,1,1-trifluoroacetone 1.16 mmol, benzene 0.3 mL, 110 °C, 15 h

c) $\text{Ar}-\text{NH}_2$ 1.0 mmol, BTP 1.2 mmol, $\text{Pd}_2(\text{dba})_3$ 0.05 mmol, dppf 0.15 mmol, Cs_2CO_3 1.2 mmol, toluene 2 mL, 110 °C, 15 h

α -フェニレンジアミンを用いたカップリング反応では、一方のアミノ基がイミン、他方がエナミンとなった生成物 **26a** が得られた(式 2)。イミノ基またはエナミノ基を二つもつビルディングブロックは知られているが²¹、非対称のものが得られた例は報告されていない。



本触媒系はヘテロアリールアミンに対しても有効であった。Table 6 に結果を示す。3-アミノピリジンとの反応では、酢酸パラジウムを用いることで対応するイミン **27a** が得られ(run 49), $Pd_2(dba)_3$ では活性は低かった。これは、ピリジン中の窒素原子が dba と交換され、パラジウムと配位することでカップリング反応を阻害しているものと考えられる。また、メチル 2-アミノ-3-チオフェンカーボキシレートでは、イミン(**30a**)とエナミン(**30b**)の両方が得られた(run 52)。

本反応では、**10b**, **26a**, **30b** のみがエナミンを形成した。通常、エナミンは電子供与性基により安定化するが、メチル基(Table 4, run 22-24), *tert*-ブチル基(run 25), メトキシ基(run 41)などの電子供与性基をもつアミンからは、エナミンは生成しなかった。従って、*N*-(1-トリフルオロメチル)ビニルアミノ基のもつ N-H 結合のプロトンと、アルコキシカルボニル基、またはイミノ基との間で水素結合が形成されることで、エナミンを安定化していると考えられる(Scheme 2^{22,23})。また、電子吸引性のトリフルオロメチル基により、アミノプロトンのカチオン性が高められていることも、水素結合による安定化の一因であると考えられる。

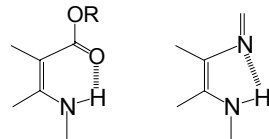
Table 6 Pd-catalyzed coupling of various heteroarylamines and BTP^a

run	hetAr-	product	NMR yield (%)	isolated yield (%)		
					Pd	dppf
49		27a	58	39		Cs_2CO_3
50		28a	21	19		toluene
51		29a	42	30		
52		30a	15	4		

a) hetAr-NH₂ 1.0 mmol, BTP 1.2 mmol, $Pd_2(dba)_3$ 0.05 mmol, dppf 0.15 mmol, Cs_2CO_3 1.2 mmol, toluene 2 mL, 110 °C, 15 h.

b) $Pd(OAc)_2$ was used.

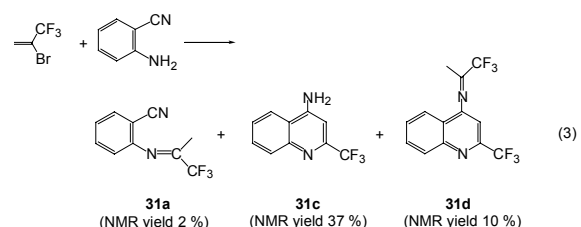
c) an enamine form, **31 b**, was obtained with 14% NMR and 6% isolated yield.

**10b and 30b** **26a**

Scheme 2

2.2. パラジウム触媒による 2-アミノベンゾニトリル類と BTP のカップリング反応 4-アミノ-2-トリフルオロメチルキノリンおよび 2-トリフルオロメチル-4-*N*-(1,1,1-トリフルオロオロ-2-プロピリデン)アミノキノリンの合成

2-アミノベンゾニトリルを基質としたカップリング反応を行うと、2-*N*-(1,1,1-トリフルオロオロ-2-プロピリデン)アミノベンゾニトリル **31a** 以外に、4-アミノ-2-トリフルオロメチルキノリン **31c** および 2-トリフルオロメチル-4-*N*-(1,1,1-トリフルオロオロ-2-プロピリデン)アミノキノリン **31d** も生成した。**31c**, **31d** はとともにシリカゲルカラムにより容易に単離が可能であった(**31c**: 35%, **31d**: 11%)。また、2-アミノベンゾニトリルに対して BTP を 2.4 当量用いることで、収率が向上した(**31c**: 37% → 41%, **31d**: 10% → 17%)。



本反応は式 4 に示す機構で進行すると考えられる。すなわち、(i) Scheme 1 と同様の機構で **31a** が生成する。(ii) **31a** のもつ *N*-(1,1,1-トリフルオロオロ-2-プロピリデン)アミノ基のメチルプロトンの酸性が、トリフルオロメチル基の強電子吸引性により高められ、 H^+ として解離する。(iii)生じたメチルカルボアニオンがシアノ基の炭素を攻撃することで環化反応が起こり、4-アミノ-2-トリフルオロメチルキノリン **31c** が生成する。(iv) **31c** のアミノ基に BTP が反応することにより、2-トリフルオロメチル-4-*N*-(1,1,1-トリフルオロオロ-2-プロピリデン)アミノキノリンが生成する。

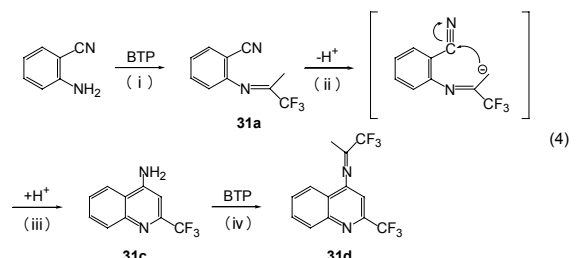


Table 7 Dependence of loaded amount of Cs_2CO_3 on yield of 31a, 31c and 31d in Pd-catalyzed coupling of BTP and 2-aminobenzonitrile^a

run	$[\text{Cs}_2\text{CO}_3]$ / [substrate]	NMR yield (%)				
		31a	31c	31d	31a + 31c + 31d	31c + 31d
53	1.2	2	37	10	49	47
54	2.4	3	33	27	63	60

a) 2-aminobenzonitrile 0.5 mmol, BTP 1.2 mmol, $\text{Pd}(\text{dba})_2$ 0.05 mmol, dppf 0.075 mmol, toluene 2 mL, 110 °C, 15 h.

Table 8 Pd-catalyzed coupling of BTP and 5-methyl-2-N-(1,1,1-trifluoro-2-propylidene)aminobenzonitrile^a

run	$[\text{BTP}]$ / [13a]	$[\text{Cs}_2\text{CO}_3]$ / [13a]	NMR yield of 13c (%)		NMR yield of 13d (%)
			13a	13c	
55	1.2	1.2	7	48	
56	1.2	2.4	0	67	
57	0	0	0	0	0

a) 13a 0.5 mmol, $\text{Pd}(\text{dba})_2$ 0.05 mmol, dppf 0.075 mmol, toluene 2 mL, 110 °C, 15 h.

塩基の使用量の反応への影響を検討した結果を Table 7 に示す。 $[\text{Cs}_2\text{CO}_3]$ / [substrate] = 1.2 と 2.4 で検討した結果、合計収率(31a+31c+31d), 31c と 31d の生成比率($31d/31c = 0.3 \rightarrow 0.8$)、および 31c と 31d の合計収率が向上した。このことから、炭酸セシウムはカップリング反応のみでなく、環化反応の過程も促進していると考えられる。

別途合成単離した 6-メチル- N -(1,1,1-トリフルオロ-2-プロピリデン)アミノベンゾニトリル(13a, Table 4, run 33)を出発原料として環化反応を行ったところ、Table 8 に示すように炭酸セシウムを過剰に用いることで、13a から 13c への環化反応過程のみでなく、13c から 13d のカップリング反応過程に対しても有利に働くことが分かった。また、13c, 13d はともに塩基、BTP の存在なしでは形成されなかった(run 57)。この結果から、本環化反応には炭酸セシウムの存在が必要であることが分かった。

環化反応はメチルプロトンの解離と生じたカルボアニオンの求核攻撃により起こるため、塩基のみで進行するものと考えられるが、炭酸セシウムのみで環化反応を試みたところ 13c は生成せず、 NaO^+Bu や NaOH のような強塩基を用いた場合でも同様に 13c の生成はみられなかった。このことから本環化反応にはパラジウムの存在が必要であることが分かった。これまでも、パラジウムなどの金属種がシアノ基の窒素原子に配位してシアノ基炭素の求電子性を高めることや、電子吸引性基が環化反応を促進することが報告されている²⁴⁻²⁶⁾。本反応でもパラジウムがシアノ基を活性化することで、環化を促進していると考えられる。

別途合成単離した 4-アミノ-2-トリフルオロメチルキノリン類 c と BTP とのカップリング反応による、2-トリフルオロメチル-4- N -(1,1,1-トリフルオロ-2-プロピリデン)アミノキノリン d の合成を検討した。結果を Table 9 に示す。まず Table 1 と同様のカップリング条件で

Table 9 Pd-catalyzed coupling of 4-amino-2-trifluoromethylquinolines and BTP^a

run	c	$[\text{BTP}]$ / [c]	product		NMR yield (%)		
			31c	33c	35c	31c	
58		31c	1.5			31d	19
59		33c	1.2			33d	4
60		35c	10			35d	90
61 ^b		31c	1.2			31d	6

a) 4-amino-2-trifluoromethylquinolines 0.2 mmol, $\text{Pd}(\text{dba})_2$ 0.05 mmol, dppf 0.075 mmol, Cs_2CO_3 0.24 mmol, toluene 0.5 - 2 mL, 110 °C, 15 h.

b) $\text{Pd}(\text{OAc})_2$ was used.

Table 10 Pd-catalyzed coupling of 2-aminobenzenes and BTP^a

run		yield (%) NMR isolated		yield (%) NMR isolated		yield (%) NMR isolated
62		43	33	13c	7	—
63		4	—	32c	26	17
64		—	—	33c	66	39
65		—	—	34c	35	10
66		—	—	35c	50	48
67		19	—	36c	23	20
					36d	33
						23

a) 2-aminobenzenes 1.0 mmol, BTP 2.4 mmol, $\text{Pd}_2(\text{dba})_3$ 0.05 mmol, dppf 0.15 mmol, Cs_2CO_3 1.2 mmol, toluene 2 mL, 110 °C, 15 h.

検討したところ、低収率であった(run 58, 59)。過剰量の BTP を導入した 35c のカップリング反応では、高収率で 35d が得られたが、31c で同条件において検討したところ、31d は得られなかった。このことから 35d が高収率で得られた理由は、過剰量の BTP ではなく 35c のアミノ基近傍のフッ素原子の存在が影響しているためであると考えられる。

種々の 2-アミノベンゾニトリル類と BTP のカップリング反応を行ったところ、対応する 4-アミノ-2-トリフルオロメチルキノリン c と 2-トリフルオロメチルキノリン d が得られた(Table 10)。特に、無置換またはハロゲンをもつ基質では、c が生成しやすい傾向がみられた(run 64-66)。

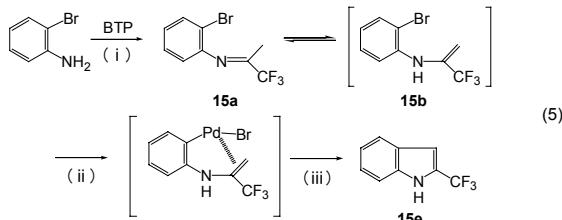
4-アミノ-2-トリフルオロメチルキノリン類は広く医薬に利用されている化合物である^{16, 17)}。4-アミノ-2-トリフルオロメチルキノリン類の合成法^{17, 18)}としては、アニリンとエチル 2-(トリフルオロメチル)アセテートからの環化反応により 4-ヒドロキシ-2-トリフルオロメチルキノリンを合成し、これに POCl_3 を反応させ 4-クロロ-2-トリフルオロメチルキノリンとして、アンモニアまたはアミンとのカップリング反応で合成する方法や、ア

ニリンと2-フェニルイミノ-1,1,1,4,4,4-ヘキサフルオロブタンをKOH存在下で反応させる方法がある。これらの方針と比べ、入手が容易な化合物を原料に一段で目的物を合成できることが本反応の特長である。

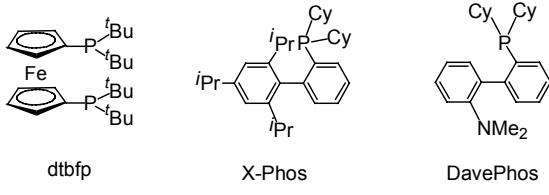
2.3. パラジウム触媒による2-ブロモアニリン類とBTPのカップリング反応(2-トリフルオロメチルインドールの合成)

2-ブロモアニリンとBTPを、パラジウム種を酢酸パラジウムに変えた触媒系でカップリング反応を行うことにより、一段で2-トリフルオロメチルインドール(**15e**)が合成できることがわかった(¹⁹F-NMR: 11% at 110°C, 21% at 125°C)。同様に酢酸パラジウムと、dppfよりも嵩高い1,1'-ジ-*tert*-ブチルホスフィノフェロセン(dtbpf, Scheme 3)を用いることで収率良く**15e**が得られた(**15e**: 70%, **15a**: 10%)。

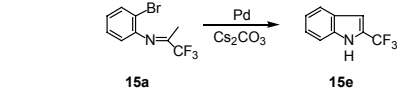
2-トリフルオロメチルインドールは式5^{4e, 19}に示す反応で生成するものと考えられる。(i)2-ブロモアニリンとBTPとのカップリング反応により**15a**が生成する。(ii)**15a**の異性体である2-ブロモ-*N*-(1-トリフルオロメチル)ビニルアニリン(**15b**)のPh-Br結合にパラジウムが酸化的付加する。(iii)Ph-Pd-Brとビニル基のC-C二重結合の間で、Heck型のカップリング反応により環化し、**15e**が生成する。



15aを原料として種々のパラジウム種、ホスフィン配位子を用いて環化反応を試みたところ、酢酸パラジウム、X-Phosの組み合わせで、ほぼ定量的に2-トリフルオロメチルインドールが生成した(Table 11)。また、2-ヨードアニリンとBTPのカップリング反応でも、2-ヨード-*N*-(1,1,1-トリフルオロ-2-ブロピリデン)アニリン(**37a**, 7%)とともに**15e**(¹⁹F-NMR 47%)の生成を確認した。



Scheme 3.

Table 11 Pd-catalyzed cyclization of 2-bromo-*N*-(1,1,1-trifluoro-2-propylidene)aniline^a

run	Pd species	phosphine ^b	NMR yield of 15e (%)
68	Pd(dba) ₂	dppf	44
69	Pd(dba) ₂	dtbfp	43
70	Pd(OAc) ₂	dtbfp	56
71	Pd(dba) ₂	X-Phos	85
72	Pd(OAc) ₂	X-Phos	97

a) **15a** 0.5 mmol, Pd 0.05 mmol, phosphine 0.075 mmol, Cs₂CO₃ 0.6 mmol, toluene 2 mL, 125 °C, 15 h.

b) The structures of dtbfp and X-Phos are depicted in Scheme 2.

Table 12 Pd-catalyzed cyclization of 2-bromo-*N*-(1,1,1-trifluoro-2-propylidene)aniline with various bases^a

run	base	NMR yield of 15e (%)
73	Cs ₂ CO ₃	97
74	Na ₂ CO ₃	4
75	Li ₂ CO ₃	1
76	K ₃ PO ₄	31
77	NaO <i>t</i> Bu	13
78	NEt ₃	5

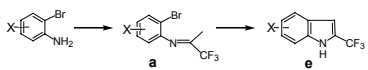
a) **15a** 0.5 mmol, Pd(OAc)₂ 0.05 mmol, X-Phos 0.075 mmol, base 0.6 mmol, toluene 2 mL, 125 °C, 15 h.

さらに種々の塩基を用いた反応を検討した結果、炭酸セシウムを用いた系でのみ特異的に高収率で**15e**へと転化できた(Table 12, run 73)。

最近報告された、パラジウム触媒による2-ブロモアニリンとアルケニルブロマイドのカップリング反応^{4d}と2-ブロモ-*N*-(α -メチルベンジリデン)アニリンの環化反応³⁰からの2位置換インドールの合成法は、炭酸セシウムを用いた系ではインドールは生成しない。また、この方法の最適条件(Pd₂(dba)₃, JohnPhos or DavePhos, NaO*t*Bu,トルエン)で**15a**の環化反応を行ったところ、**15e**は生成しないか、低収率であった(JohnPhos:0%, DavePhos:8%)。これらのことから、炭酸セシウムは含フッ素基質との反応に対して特異な効果を与えると考えられる。

酢酸パラジウム、X-Phos、炭酸セシウムの触媒系で種々の2-ブロモアニリン類とBTPのカップリング反応を検討したところ、目的とする2-トリフルオロメチルインドール類と少量のイミンの生成を確認した(Table 13)。CF₃、Cl、Fのような電子吸引性基をもつ2-ブロモアニリン類ではどれも比較的高収率で2-トリフルオロメチルインドールが得られた(run 81-84)。また、嵩高いメチル基をもつ2-ブロモ-3,5-ジメチルアニリンは低収率であった。なお、本反応は2-ブロモアニリン同士のホモカップリングは起こらず、イミン**a**および2-トリフルオロメチルインドール**e**のみが生成物として得られた。

Table 13 Pd-catalyzed 2-trifluoromethylindole synthesis



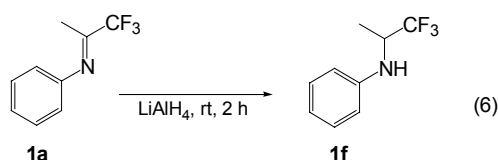
run		NMR yield (%)		yield (%)	
		NMR	isolated	NMR	isolated
79		38a	16	38e	64
80		39a	17	39e	17
81		40a	17	40e	81
82		41a	16	41e	84
83		42a	11	42e	46
84		43a	10	43e	44
85		44a	—	44e	66
					39

a) 2-bromoanilines 1.0 mmol, BTP 1.2 mmol, Pd(OAc)₂ 0.10 mmol, X-Phos 0.15 mmol, Cs₂CO₃ 1.2 mmol, toluene 2 mL, 125 °C, 15 h.

2-トリフルオロメチルインドール類は医農薬中間体として非常に重要な化合物であり^{17, 18)}、これまでにもパラジウム触媒による2-ヨードアニリンとトリフルオロメチルアセチレンのカップリング合成³⁵⁾、光化学反応によるCF₃IまたはCF₂I₂のインドールへの付加^{32, 33)}、ビス(トリフルオロメチル)ペルオキシドのインドールへのラジカル付加³⁴⁾など、様々な合成法が報告されている。しかし、これらの方法では2-トリフルオロメチル体を選択的に合成することはできない。また、メチル-3-N-アリール-4, 4, 4-トリフルオロオブテノエート³⁵、N-トリメチルシリル-*o*-トライジン³⁶⁾、2-(*N*-トリフルオロアセチルアミノ)ベンジルメチルエーテル³⁷⁾、3-トリフルオロメチルキノリン³⁸⁾を用いた2-トリフルオロメチルインドールの合成法も報告されているが、これらの場合では原料の入手が困難である。これらに対し本研究の手法は、比較的手が容易な化合物を用いて、2-トリフルオロメチルインドールを選択的かつ一段で合成できることが特長である。

2.4. *N*-(1, 1, 1-トリフルオロ-2-プロピリデン)アミノ基の水素化

N-(1, 1, 1-トリフルオロ-2-プロピリデン)アミンは、THFまたはジエチルエーテル中で水素化リチウムアルミニウムを用いることにより^{6, 7)}、緩やかな条件で容易に*N*-(1-メチル-2, 2-トリフルオロ)エチルアニリンへと還元することができた(¹⁹F-NMR yield : 89%, isolated yield : 68%, 式6)。そのほかのアリールイミン、ヘテロアリールイミンの水素化の結果をTable 14に示す。

Table 14 Hydrogenation of *N*-(1,1,1-trifluoro-2-propylidene)amino group

run		a		f		run		product		NMR yield (%)	isolated yield (%)
		NMR	isolated	NMR	isolated			NMR	isolated		
86		2f	67	56	—	96		20f	78	25	—
87		3f	62	38	—	97		21f	80	51	—
88		4f	99	72	—	98		22f	75	—	—
89		5f	75	59	—	99		23f	41	40	—
90		6f	66	24	—	100		24f	95	84	—
91		14f	61	50	—	101		25f	99	76	—
92		15f	75	23	—	102		27f	58	39	—
93		17f	71	58	—	94		18f	69	62	—
95		19f	55	55	—	103		31f	92	83	—

a) Ar-N=C(CH₃)(CF₃) 0.33 M, solvent THF (0.5–3.0 mL), [substrate] / [LiAlH₄] = 1, rt, 2 h.
b) solvent diethylether, 24 h.

Pd/C触媒による水素化³⁸⁾では、式6の反応に比べ反応条件は厳しく、かつ収率は低かった(110°C, 12h, 単離収率49%)。また最近では、還元剤のソディウムシアノボロヒドリド中でのアニリンと1, 1, 1-トリフルオロオロアセトンの反応から直接1fを合成する方法が報告されたが、還元剤が非常に有毒な化合物であり、汎用性に乏しい。

N-(1-メチル-2, 2-トリフルオロ)エチルアミンは、ヒドロキシル基のアミノ化試薬として用いることができる⁴⁰⁾。また、アリールハライドとのBuchwald-Hartwig aminationによりアリール(1-メチル-2, 2-トリフルオロエチル)アミンへと変換できることから、本反応で得られた種々のアミンは有用な化合物となり得ると考えられる。

3. 結論

本研究により、パラジウム触媒を用いたアリールアミン類と2-ブロモ-3, 3-トリフルオロオロプロペン(BTP)のカップリング反応による、*N*-(1, 1, 1-トリフルオロ-2-ブロピリデン)アミンの有用な合成法を見出した。特に、2-アミノベンゾニトリル類からの4-アミノ-2-トリフルオロメチルキノリン類の一段合成法、2-ハロアニリン類からの2-トリフルオロメチルインドール類の一段合成法は、医農薬の分野で非常に重要なものとなり得ると考えられる。また、*N*-(1, 1, 1-トリフルオロ-2-ブロピリデン)アミンのC-N二重結合は、容易に*N*-(1-メチル-2, 2-トリフルオロエチル)アミンへと水素還元が可能なことも見出した。本研究で得られた化合物は、いずれも有用な生理活性物質となり得ると考えられる。

4. 実験

4.1. 測定機器・試薬

¹H, ¹⁹F, ¹³C-NMRスペクトルはCDCl₃を測定溶媒として、Bruker DRX-250(¹H 250 MHz, ¹⁹F 235 MHz), DRX-500(¹³C 125MHz)を用いて測定した。GC測定にはShimadzu GC-14A, カラムはULBON HR-1(*id* 0.25 mm x 50 m, Shinwa Chemical Industries, LTD)を用いた。カラムクロマトグラフィーにはシリカゲル(MERCK C60)を用いた。脱水トルエン, THFは関東化学のものを使用した。そのほかの市販試薬は精製することなく使用した。

4.2. アリールアミンとBTPのカップリング反応の実験方法

本研究の各種カップリング反応の代表的な実験例を以下に示す。

マグネット攪拌子を備えたPyrexスクリューキャップ付グラステストチューブにPd₂(dba)₃·CHCl₃(0.05 mmol), dppf(0.15 mmol), 炭酸セシウム(1.2 mmol)を加え, アルゴン置換した。トルエン(2 ml)を加え攪拌し, アニリン(1.0 mmol)とBTP(1.2 mmol)を加え, 110°Cで15時間過熱攪拌した。反応終了後, 反応液に内部標準物質(GC:n-ヘキサデカン, ¹⁹F-NMR: 2,2,2-トリフルオロエタノール)を加え, 少量をGCおよび¹⁹F-NMR測定に用いた。反応液をジエチルエーテル(20 ml)でセライトろ過し, ろ液を濃縮後, シリカゲルカラム(n-ヘキサン:酢酸エチル=10:1-4:1)で精製し, 目的物であるN-(1,1,1-トリフルオロ-2-プロピリデン)アニリン **1a**(92%, yellow oil)を得た。

4.3. アリールイミンの水素化の実験方法

本研究の各種イミンの水素化は次に示す代表例と同様の手順を行った。

4.3.1. 水素化リチウムアルミニウムによる水素化

マグネット攪拌子を備えたガラスフラスコに水素化リチウムアルミニウム(0.97 mmol)を加えアルゴン置換し, THF(1.0 ml)を加えて攪拌した。これに **1a**(1.0 mmol)を溶かしたTHF(2.0 ml)を加え, 室温で2時間攪拌した。反応終了後, 反応液に酢酸エチルを加え余剰の水素化リチウムアルミニウムを処理し, 内部標準(¹⁹F-NMR: 2,2,2-トリフルオロエタノール)を加えた後, ¹⁹F-NMRにて対応するアミン **1f**の生成を収率89%で確認した。反応液を酢酸エチル(20 ml)でセライトろ過し, ろ液を濃縮後, シリカゲルカラム(n-ヘキサン:酢酸エチル=10:1-4:1)にて精製, **1f**を収率68%で得た。

4.3.2. パラジウム触媒による水素還元

マグネット攪拌子を備えたステンレス製オートクレープに **1a**(10.7 mmol)とPd/C(50 mg), トルエン(10 ml)を加え, 水素充填(5 atm, 室温)した後100°Cで12時間加熱した。反応終了後, 反応液を濃縮し, シリカゲルカラムにて精製, **1f**を収率49%で得た。

参考文献

- 1) (a) Z. Rappoport (Ed.), *The Chemistry of Enamines*, Wiley, New York, 1994;
- (b) A. G. Cook (Ed.), *Enamines: Synthesis, Structure and Reactions*, 2nd edition, Marcel Dekker, New York, 1998.
- 2) P. W. Hickmott, *Tetrahedron* 38 (1982) 1975.
- 3) (a) J. P. Wolfe, S. Wagaw, J. F. Marcoux, S. L. Buchwald, *Acc. Chem. Res.* 31 (1998) 805;
- (b) J. F. Hartwig, *Acc. Chem. Res.* 31 (1998) 852;
- (c) J. F. Hartwig in : *Modern Amination Methods* (ed.: A. Ricci), Wiley-VCH, Weinheim, Germany, 2000;
- (d) A. R. Muci, S. L. Buchwald, *Top. Curr. Chem.* 219 (2002) 133;
- (e) J. F. Hartwig, *Angew. Chem. Int. Ed.* 37 (1998) 2046;
- (f) J. Tsuji in : *Palladium Reagents and Catalysts*, John Wiley & Sons, Ltd., West Sussex, 2004.
- 4) (a) J. Barluenga, M. A. Fernández, F. Aznar, C. Valdés, *Chem. Eur. J.* 10 (2004) 494;
- (b) J. Barluenga, C. Valdés, *Chem. Commun.* 4891 (2005);
- (c) M. C. Wills, J. Chauhan, W. G. Whittingham, *Org. Biomol. Chem.* 3 (2005) 3094;
- (d) C. R. V. Reddy, S. Urgaonkar, J. G. Verkade, *Org. Lett.* 7 (2005) 4427.
- (e) S. Dalili, A. K. Yudin, *Org. Lett.* 7 (2005) 1161.
- (f) A. Y. Lebedev, V. V. Izmer, D. N. Kazyl'kin, I. P. Beletskaya, A. Z. Voskoboinikov, *Org. Lett.* 4 (2003) 623.
- (g) M. C. Wills, G. N. Brace, *Tetrahedron Lett.* 43 (2002) 9085.
- 5) (a) M. Mor, G. Spaoni, B. D. Giacomo, G. Diamantini, A. Bedimi, G. Tarzia, P. V. Plazzi, S. Rivara, R. Nonno, V. Lucini, M. Pannacci, F. Fraschini, B. M. Stankov, *Bioorg. Med. Chem.* 9 (2001) 1045;
- (b) Y. Fukuda, S. Seto, H. Furuta, H. Ebisu, Y. Oomori, S. Terashima, *J. Med. Chem.* 44 (2001) 1396.
- 6) Yu. V. Zeifman, N. P. Gambaryan, I. L. Knunyants, *Izv. Akad. Nauk. SSSR Ser. Khim.* 450 (1965).
- 7) (a) S. R. Stauffer, J. Sun, B. S. Katzenellenbogen, J. A. Katzenellenbogen, *Bioorg. Med. Chem.* 8 (2000) 1293;
- (b) R. W. Hartmann, H. D. vom Orde, A. Heindl, H. Schönenberger, *Arch. Pharm.* 321 (1988) 497.
- 8) (a) I. Ojima, *Chem. Rev.* 88 (1988) 1011;
- (b) U. Matteoli, C. Botteghi, F. Sbroglio, V. Beghetto, S. Paganelli, A. Scrivanti, *J. Mol. Catal. A: Chemical* 143 (1999) 287;
- (c) B. Jiang, Y. Xu, *J. Org. Chem.* 56 (1991) 7336;
- (d) B. Jiang, Q.-F. Wang, C.-G. Yang, M. Xu,

- Tetrahedron Lett. 42 (2001) 4083;
- (e) C.-M. Hu, F. Hong, Y.-Y. Xu, J. Fluorine Chem. 64 (1993) 1.
- 9) (a) F.-L. Qing, W.-Z. Gao, J. Ying, J. Org. Chem. 65 (2000) 2003;
 (b) Japan Patent Kokai Tokkyo Koho H7-215899 (1995);
 (c) T. Yamazaki, T. Icige, T. Kitazume, Org. Lett. 6 (2004) 4073;
 (d) F. Hong, X. Tang, C. Hu, J. Chem. Soc., Chem. Commun. 289 (1994);
 (e) T. Yamazaki, K. Mizukami, T. Kitazume, J. Org. Chem. 60 (1995) 6046.
- 10) (a) S. Peng, F. L. Qing, J. Chem. Soc., Perkin Trans. I 3345 (1999);
 (b) R. Filler, S. Lin, Z. Zhang, J. Fluorine Chem. 74 (1995) 69;
 (c) B. Jiang, Y. Xu, Tetrahedron Lett. 33 (1992) 511.
- 11) (a) R. Nadano, J. Ichikawa, Synthesis 128 (2006);
 (b) A. R. Katritzky, M. Qi, A. P. Wells, J. Fluorine Chem. 80 (1996) 145.
- 12) T. Hamamoto, Y. Hakoshima, M. Egashira, Tetrahedron Lett. 45 (2004) 7503.
- 13) (a) B. Jiang, Y.-Y. Xu, J. Yang, J. Fluorine Chem. 67 (1994) 83;
 (b) B. Jiang, F. Zhang, W. Xiong, Chem. Commun. 536 (2003);
 (c) B. Jiang, F. Zhang, W. Xiong, Tetrahedron 58 (2002) 25;
 (d) X.-C. Zhang, W.-Y. Huang, Synthesis 51 (1999);
 (e) Yu. L. Ignatova, N. M. Karimova, O. V. Kil'disheva, I. L. Knunyants, Izv. Akad. Nauk SSSR Ser. Khim. 732 (1986).
- 14) Japan Patent Kokai Tokkyo Koho 2001-322955.
- 15) Y. Horino, N. Wakasa, T. Fuchikami, T. Yamakawa, J. Mol. Catal. A: General 258 (2006) 152.
- 16) (a) G. B. Barlin, T. M. T. Nguyen, B. Kotecka, K. H. Rieckmann, Aust. J. Chem. 46 (1993) 21;
 (b) G. B. Barlin, W.-L. Tan, Aust. J. Chem., 38 (1985) 1827.
- 17) US patent 2005/0070573 A1.
- 18) (a) US patent 2005/043347 A1;
 (b) US patent 2005/026944;
 (c) WO 2000/047212 A1;
 (d) EP 95-305767.
- 19) (a) M. M. Spadoni, G. D. Giacomo, B. Diamantini, G. Bedini, A. Tarzia, G. Plazzi, P. V. Rivara, S. Nonno, R. Lucini, V. Pannacci, M. Fraschini, F. Stankov, B. M. Dipartimento, Bioorg. Med. Chem. 9 (2001) 1045;
 (b) J. A. Joule, Sci. Synth. 10 (2001) 361.
 (c) T. Nishikawa, Y. Koide, S. Kaiji, K. Wada, M. Ishikawa, M. Isobe, Org. Biomol. Chem. 3 (2005) 687.
- 20) Y. Torisawa, T. Nishi, J. Minamikawa, Bioorg. Med. Chem. Lett. 10 (2000) 2493.
- 21) (a) J. Lesel, Pharmazie 49 (1994) 649.
 (b) E. M. Opazda, W. Lasocha, B. Włodarczak-Gajda, J. Mol. Struct. 784 (2006) 149.
- 22) (a) M. Nomura, S. Nakata, F. Hamada, Nippon Kagaku Kaishi 141 (2002);
 (b) T. Seki, Y. Iwanami, Y. Kuwatani, M. Iyoda, J. Heterocyclic Chem. 34 (1997) 773.
- 23) (a) A. V. Mirniy, I. M. Gella, V. D. Orinov, Zr. Org. Farm. Khim. 2 (2004) 62.
 (b) J. Wagner, H. Görts, H. Keutel, Inorg. Chem. Commun. 5 (2002) 78.
- 24) N. V. Kaminskaia, N. M. Kostić, J. Chem. Soc., Dalton Trans. 3677 (1966).
- 25) T. Charvát, M. Potáček, J. Marek, Monat. Chem. 126 (1995) 333.
- 26) (a) W. Zimmermann, K. Eger, H. J. Roth, Arch. Pharm. 309 (1976) 597;
 (b) I. Lalezari, J. Heterocyclic Chem. 16 (1978) 603.
- 27) (a) A. S. Dey, M. M. Joullié, J. Heterocyclic Chem. 2 (1965) 113;
 (b) P. B. Madrid, N. T. Wilson, J. D. DeRisi, R. K. Guy, J. Comb. Chem. 6 (2004) 437.
- 28) R. D. Chambers, A. R. Edwards, Tetrahedron 54 (1998) 4949.
- 29) J. Barluenga, M. A. Fernández, F. Aznar, C. Valdés, Chem. Eur. J. 11 (2005) 2276.
- 30) M. Nazaré, C. Schneider, A. Lindenschmidt, D. W. Will, Angew. Chem. Int. Ed. 43 (2004) 4526.
- 31) T. Konno, J. Chae, T. Ishihara, H. Yamanaka, J. Org. Chem. 69 (2004) 8258.
- 32) Y. Girard, J. G. Atkinson, P. C. Belanger, J. J. Fuentes, J. Rokach, C. S. Rooney, J. Org. Chem. 48 (1983) 3220.
- 33) Q.-Y. Che, Z.-T. Li, J. Chem. Soc., Perkin Trans. I 645 (1993).
- 34) M. Yoshida, T. Yoshida, M. Kobayashi, N. Kamigata, J. Chem. Soc., Perkin Trans. I 909 (1989).
- 35) M. Kobayashi, K. Sadamune, H. Mizukami, K. Uneyama, J. Org. Chem. 59 (1994) 1909.
- 36) K. E. Heneger, D. A. Hunt, Heterocycles 43 (1996) 1471.
- 37) K. Miyashita, K. Kondoh, K. Tsuchiya, H. Miyabe, T. Imanishi, J. Chem. Soc., Perkin Trans. I 1261 (1996).
- 38) Y. Kobayashi, I. Kumadaki, Y. Hirose, Y. Hanazawa, J. Org. Chem. 39 (1974) 1836.
- 39) (a) WO 03/038109 A2;
 (b) WO 2005/085185 A1.
- 40) (a) US 2539406 (1951);

(b) US 2624746 (1953).

- 41) Japan Patent Kokai Tokkyo Koho 2000-309565.
- 42) Japan Patent Kokai Tokkyo Koho 2000-302736.